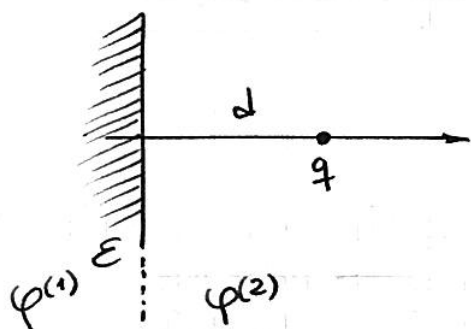


Ejemplo:



Tenemos que considerar la polarización del medio.

Usando imágenes, buscamos

$$\varphi^{(2)} = \frac{q}{|\underline{r} - d\hat{z}|} + \varphi'$$

$$+q \left\{ \begin{array}{l} \nabla^2 \varphi' = 0 \quad \text{en } z > 0 \\ \varphi^{(2)} \xrightarrow[r \rightarrow \infty]{} 0 \\ \varphi^{(1)} = \varphi^{(2)} \quad \text{en } z = 0 \end{array} \right.$$

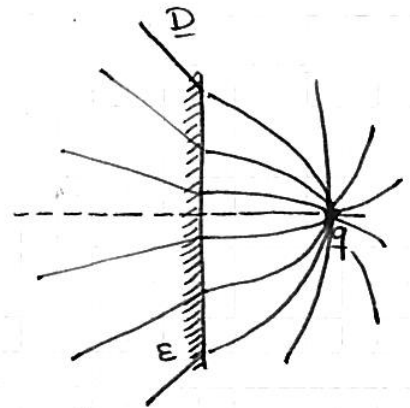
Además  $(\underline{D}^{(2)} - \underline{D}^{(1)}) \cdot \hat{n} = 4\pi\sigma_f = 0 \quad (1)$

Es decir  $\left\{ \begin{array}{l} \varphi^{(1)} \Big|_{z=0} = \frac{q}{|\underline{r} - d\hat{z}|} \Big|_{z=0} + \varphi'(z=0) = \varphi^{(2)} \Big|_{z=0} \\ \left[ -\frac{\partial \varphi^{(2)}}{\partial z} + \epsilon \frac{\partial \varphi^{(1)}}{\partial z} \right]_{z=0} = 0 \end{array} \right.$

La solución en (1) debe ser solución de Laplace.

Tomemos

$$\left\{ \begin{aligned} \varphi^{(1)} &= \frac{q_{im}'}{|\underline{r} - d\hat{z}|} \\ \varphi^{(2)} &= \frac{q}{|\underline{r} - d\hat{z}|} + \frac{q_{im}}{|\underline{r} - z_{im}\hat{z}|} \end{aligned} \right.$$



De las cdc.

$$\frac{q}{\sqrt{x^2 + y^2 + d^2}} + \frac{q_{im}}{\sqrt{x^2 + y^2 + z_{im}^2}} = \frac{q_{im}'}{\sqrt{x^2 + y^2 + d^2}}$$

$$-\frac{qd}{(x^2 + y^2 + d^2)^{3/2}} - \frac{q_{im}z_{im}}{(x^2 + y^2 + z_{im}^2)^{3/2}} = -\frac{\epsilon q_{im}'d}{(x^2 + y^2 + d^2)^{3/2}}$$

Tomamos  $\boxed{z_{im} = -d} \Rightarrow \left\{ \begin{aligned} q + q_{im} &= q_{im}' \\ -q + q_{im} &= -\epsilon q_{im}' \end{aligned} \right.$

luego  $q_{im}' = \frac{2q}{1+\epsilon}$

$$q_{im} = \frac{q(1-\epsilon)}{1+\epsilon}$$

$$\gamma \quad \varphi(\underline{r}) = \begin{cases} \frac{2}{1+\epsilon} \frac{q}{|\underline{r} - d\hat{z}|} & z < 0 \\ \frac{q}{|\underline{r} - d\hat{z}|} + \frac{1}{1+\epsilon} \frac{q(1-\epsilon)}{|\underline{r} + d\hat{z}|} & z > 0 \end{cases}$$

↑ debido a la polarización del dieléctrico.

$\underline{P}$  (en realidad,  $\sigma_p$ )

puede obtenerse de  $(\underline{E}^{(2)} - \underline{E}^{(1)}) \cdot \hat{n} = 4\pi\sigma_p$

con  $\underline{E}^{(2)} = -\nabla\varphi^{(2)}$  y  $\underline{E}^{(1)} = -\nabla\varphi^{(1)}$ .

Ahora podemos calcular  $U$  de la configuración usando

$$\delta U = \int \delta p_e \varphi dV$$

Consideremos la carga como  $\alpha q$  y llevemos  $\alpha$  de 0 a 1:

$$\psi^{(2)}(\underline{r}) = \frac{\alpha q}{|\underline{r} - d\hat{z}|} + \frac{\alpha q(1-\epsilon)}{(1+\epsilon)|\underline{r} + d\hat{z}|} \quad \text{y} \quad \delta\rho_e = q \delta\alpha \delta(\underline{r} - d\hat{z})$$

Nos interesa solo la energía de interacción, es decir,  $\alpha q$ , con el campo eléctrico generado por el dieléctrico

$$U = \int_0^1 q \, d\alpha \frac{\alpha q(1-\epsilon)}{(1+\epsilon)2d} = \frac{q^2}{4d} \frac{1-\epsilon}{1+\epsilon} < 0$$

y el dieléctrico atrae a la carga.

### Principio de trabajos virtuales

Consideremos una distribución de cargas y desplazemos las cargas en  $\Delta \underline{\Gamma}_i$



$$\begin{aligned} \Delta U &= U(q_i, \underline{\Gamma}_i + \Delta \underline{\Gamma}_i) - U(q_i, \underline{\Gamma}_i) = \\ &= - \sum_i \underline{F}_i \cdot \Delta \underline{\Gamma}_i = - F_i^{(\alpha)} \Delta \Gamma_i^{(\alpha)} \quad (\alpha=1,2,3) \end{aligned}$$

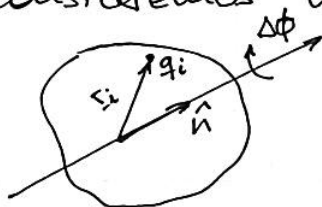
luego

$$F_i^{(\alpha)} = - \left. \frac{\partial U}{\partial \Gamma_i^{(\alpha)}} \right|_q = - \lim_{\Delta \Gamma_i^{(\alpha)} \rightarrow 0} \frac{U' - U}{\Delta \Gamma_i^{(\alpha)}}$$

En general

$$\boxed{\underline{F}_i = - \nabla_i U \Big|_q}$$

Consideremos una rotación rápida



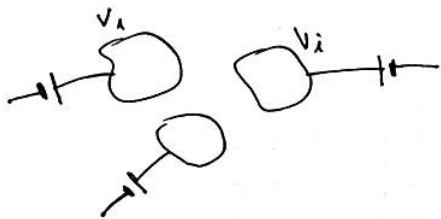
$$\Delta \underline{\Gamma}_i = \Delta \phi \hat{n} \times \underline{\Gamma}_i$$

$$\gamma \frac{U' - U}{\Delta\phi} = -E_i \cdot (\cancel{\Delta\phi} \hat{n} \times \underline{r}_i) \frac{1}{\Delta\phi} = -\hat{n} \cdot (\underline{r}_i \times E_i) = -\hat{n} \cdot \underline{N}$$

Torque ↗

Principio de trabajos virtuales a potencial constante

Cuando se prescriben los potenciales (en lugar de las cargas) al desplazar los conductores necesitamos baterías para mantener  $V$  cte. Tomemos:

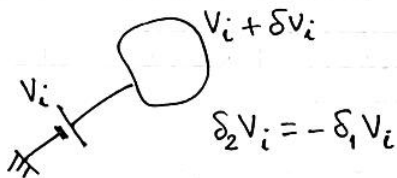


Desconectamos las fuentes y los mantenemos aislados para desplazarlos. Luego conectamos las baterías para volver a  $V_i$  en cada conductor.

Al desconectar las fuentes  $\delta_1 U = \frac{1}{2} \sum_i (\cancel{\delta_1 q_i} V_i + q_i \delta V_i)$

Al conectar las

$$\delta_2 U = W_{\text{batería}} = \sum \delta_2 q_i V_i$$



(las baterías están a  $V_i$  constante)

$$\Rightarrow \delta_2 U = \sum_i \delta_2 q_i V_i = \sum_i q_i \delta_2 V_i = -\sum_i q_i \delta V_i$$

$$\Rightarrow \delta U = \delta_1 U + \delta_2 U = -\frac{1}{2} \sum_i q_i \delta_1 V_i = -\delta_1 U = +\underline{F}_i \cdot \delta \underline{r}_i$$

↑ sist. aislado      ↑ variación de  $U$  de las baterías      → trabajo hecho por las baterías para resturar  $V_i$

$$\Rightarrow \boxed{\underline{F}_i = \nabla_i U|_V}$$

Otra forma de verlo es usando que  $U$  es func. de estado. Tenemos

$$\frac{\partial U}{\partial q_i} = V_i, \quad \frac{\partial U}{\partial r_i^{(\alpha)}} = -F_i^{(\alpha)}$$

$$\Rightarrow dU = V_i dq_i - \underline{F}_i \cdot d\underline{r}_i$$

para el sist. cerrado (cargas constantes). Si quiero pasar a variables independientes  $V_i, q_i$  tomamos potencial termodinámico  $\tilde{U}$ :

$$\tilde{U} = U - q_i V_i \quad \leftarrow \begin{array}{l} \text{transf. de} \\ \text{Legendre} \end{array}$$

$$\Rightarrow d\tilde{U} = dU - q_i dV_i - V_i dq_i = -q_i dV_i - F_i \cdot d\Gamma_i$$

$$\Rightarrow F_i = -\nabla_i \tilde{U}|_V = \nabla_i U|_V$$

### Termodinámica de dieléctricos

La energía interna está dada por

$$U = Q - W = Q + W_{\text{ext}}$$

Y

$$\delta U = T \delta S + \frac{1}{4\pi} \int \underline{E} \cdot \delta \underline{D} dV$$

Esta expresión es útil para procesos en los que la entropía está prescrita. Si trabajamos con  $\underline{D}$  y  $T$  como variables termodinámicas independientes, introducimos la energía libre de Helmholtz usando transf. de Legendre

$$F = U - TS$$

$$\Rightarrow \delta F = -S \delta T + \frac{1}{4\pi} \int \underline{E} \cdot \delta \underline{D} dV$$

Si queremos  $\underline{E}$  como variable termodinámica

$$\tilde{U} = U - \frac{1}{4\pi} \int \underline{E} \cdot \underline{D} dV \quad \leftarrow \text{es equivalente al ejemplo anterior}$$

$$\tilde{F} = U - \frac{1}{4\pi} \int \underline{E} \cdot \underline{D} dV \quad \left\{ \begin{array}{l} \tilde{U}: \text{respecto a los potenciales} \\ U: \text{respecto a las cargas} \end{array} \right.$$

$$\gamma \quad \delta \tilde{F} = \delta F - \frac{1}{4\pi} \int (\underline{E} \cdot \delta \underline{D} + \underline{D} \cdot \delta \underline{E}) dV = -S \delta T - \frac{1}{4\pi} \int \delta \underline{E} \cdot \underline{D} dV$$

$$\delta \tilde{U} = T \delta S - \frac{1}{4\pi} \int \delta \underline{E} \cdot \underline{D} dV$$

Notar que dados los potenciales tenemos (usando  $\underline{D} = \epsilon \underline{E}$ )

$$\begin{aligned} S &= -\left. \frac{\partial F}{\partial T} \right|_D = \left. \frac{\partial \epsilon}{\partial T} \right|_D \int \frac{D^2}{8\pi\epsilon^2} dV + S_0(T) = \\ &= \left. \frac{\partial \epsilon}{\partial T} \right|_D \int \frac{E^2}{8\pi} dV + S_0(T) \end{aligned}$$

Recordar que en una transf. isotérmica  $-\Delta F$  es el máximo trabajo que puede hacer el sistema

$$\frac{\Delta Q}{T} \leq \Delta S \quad \text{y} \quad W \leq -\Delta U + T\Delta S$$
$$\Rightarrow \boxed{W \leq -\Delta F}$$

Se sigue que un sist. aislado a  $T = \text{cte}$  evoluciona al mínimo de  $F$ .